

Sistemas no convencionales para procesos fotoquímicos de oxidación

Dr. Francisco Galindo

Universitat Jaume I
Dpto. Química Inorgánica y Orgánica

francisco.galindo@uji.es

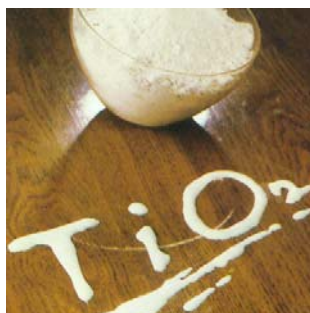
1ª Jornada Técnica sobre Oxidación Avanzada en el Tratamiento de Aguas, UJI, 15 enero 2016

- 1. Principios de fotocatalisis**
- 2. Fotocatalisis con polimeros organicos**
- 3. Desarrollos en Universitat Jaume I**

Catálisis



Fotocatálisis



Perspectiva
Inorgánica vs Orgánica



3

Semiconductores inorgánicos

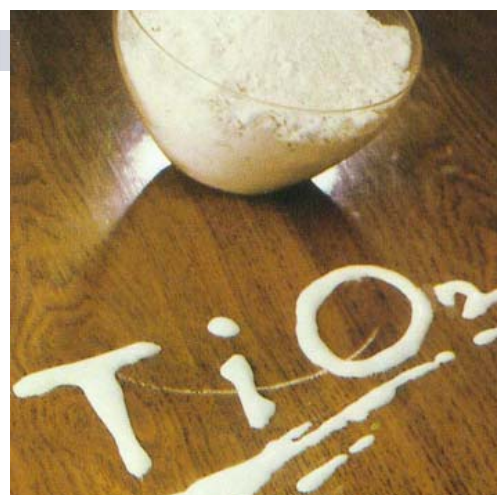
Aplicaciones ambientales:

S. Malato, P. Fernández-Ibáñez, M. I. Maldonado, J. Blanco, W. Gernjak. **Decontamination and disinfection of water by solar photocatalysis: Recent overview and trends.** *Catal. Today*, **2009**, *147*, 1-59.

D. Spasiano, R. Marotta, S. Malato, P. Fernandez-Ibáñez, I. Di Somma. **Solar photocatalysis: Materials, reactors, some commercial, and pre-industrialized applications. A comprehensive approach.** *Appl. Catal. B: Environmental* **2015**, *170-171*, 90-123.

Aspectos fundamentales:

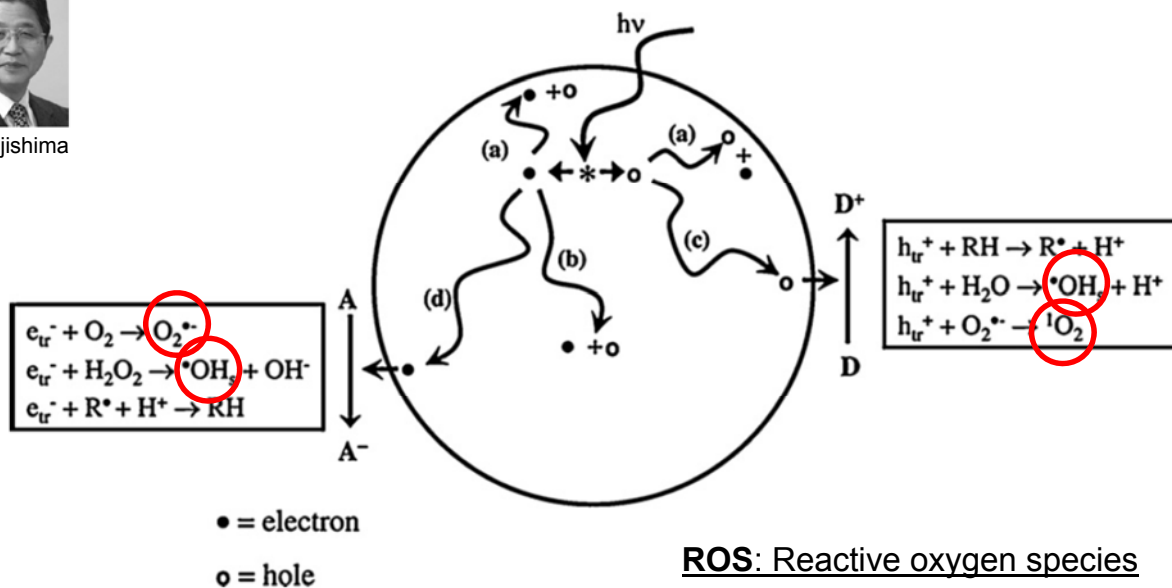
T. Ochiai, A. Fujishima, **Photoelectrochemical properties of TiO₂ photocatalyst and its applications for environmental purification,** *J. Photochem. Photobiol. C: Photochem. Rev.* **2012**, *13* 247-262.



4



A. Fujishima



- Radical hidroxilo $\cdot\text{OH}$
- Radical-anión superóxido $\text{O}_2^{\cdot-}$
- Oxígeno singlete $^1\text{O}_2$

T. Ochiai, A. Fujishima / Journal of Photochemistry and Photobiology C: Photochemistry Reviews 13 (2012) 247–262

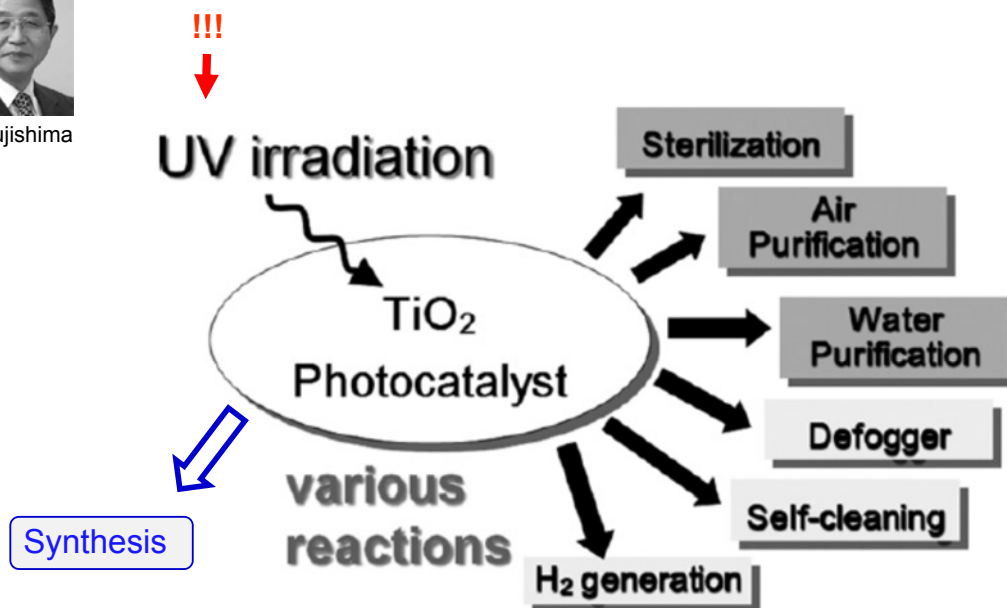
TABLE 1. Average Concentrations of ROS Generated by Different Metal Oxides under UV Irradiation

particles	$\cdot\text{OH}$ (μM)	$^1\text{O}_2$ (μM)	$\text{O}_2^{\cdot-}$ (μM)	total (μM)
TiO₂ NPs	19.3 ± 0.8	417.3 ± 18.8	8.0 ± 0.4	442.9 ± 20.0
bulk	4.9 ± 0.2	N.D. ^a	N.D.	4.9 ± 0.2
CeO ₂ NPs	N.D.	N.D.	8.4 ± 0.2	8.4 ± 0.2
bulk	N.D.	N.D.	N.D.	0
SiO ₂ NPs	N.D.	56.5 ± 2.5	N.D.	56.5 ± 2.5
bulk	N.D.	N.D.	N.D.	0
Al ₂ O ₃ NPs	N.D.	158.5 ± 8.0	N.D.	158.5 ± 8.0
bulk	N.D.	N.D.	N.D.	0
ZnO NPs	9.5 ± 0.6	100.8 ± 6.4	167 ± 8.6	277.3 ± 15.6
bulk	1.9 ± 0.1	N.D.	81.8 ± 0.3	83.7 ± 0.4
CuO NPs	N.D.	N.D.	N.D.	0
bulk	N.D.	N.D.	N.D.	0
Fe₂O₃ NPs	2.3 ± 0.1	N.D.	18.1 ± 1.1	20.4 ± 1.2
bulk	N.D.	N.D.	N.D.	0

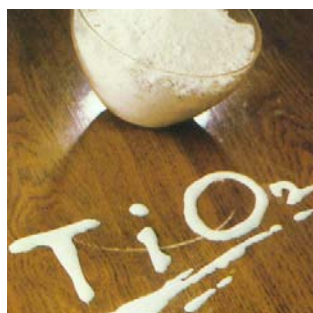
^a N.D. indicates that ROS were not detected or were not statistically significant.



A. Fujishima



T. Ochiai, A. Fujishima / *Journal of Photochemistry and Photobiology C: Photochemistry Reviews* 13 (2012) 247–262



Perspectiva
 ⇐ Inorgánica vs Orgánica ⇒



S. Malato (ed.), P. Fernández-Ibáñez (ed.), I. Poulios (ed.), D. Mantzavinos (ed.). Número especial, *Catal. Today* **2015**, 252. **8th European Meeting on Solar Chemistry and Photocatalysis: Environmental Applications, SPEA8, Thessaloniki, 2014.**



D. Mantzavinos (ed.), I. Poulios (ed.), P. Fernández-Ibáñez (ed.), S. Malato (ed.), Número especial, *Catal. Today* **2015**, 240A. **Environmental Applications of Advanced Oxidation Processes – EAAOP3, Almería, 2013.**

¿No hay fotocatalizadores orgánicos?

CHEMICAL REVIEWS

REVIEW

pubs.acs.org/CR

Organic Photocatalysts for the Oxidation of Pollutants and Model Compounds

M. Luisa Marin,[†] Lucas Santos-Juanes,[‡] Antonio Arques,[‡] Ana M. Amat,[‡] and Miguel A. Miranda^{*,†}[†]Instituto Universitario Mixto de Tecnología Química-Departamento de Química (UPV-CSIC), Avda. de los Naranjos s/n, E-46022, Valencia, Spain[‡]Departamento de Ingeniería Textil y Papelera, Universidad Politécnica de Valencia, Campus de Alcoy, Plaza Ferrándiz y Carbonell s/n, E-03801 Alcoy, Spain

Chem. Rev. 2012, 112, 1710–1750

251 referencias

9

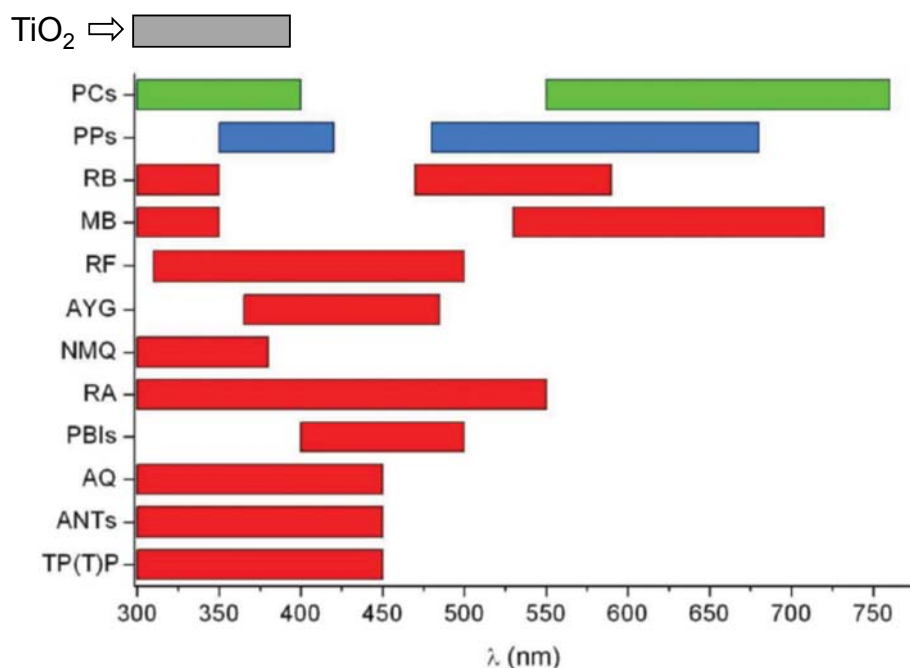
Ventaja de los fotocatalizadores orgánicos: **absorben luz visible**

Figure 1. Typical absorption ranges of the organic photocatalysts in the UVB–UVA–vis range.

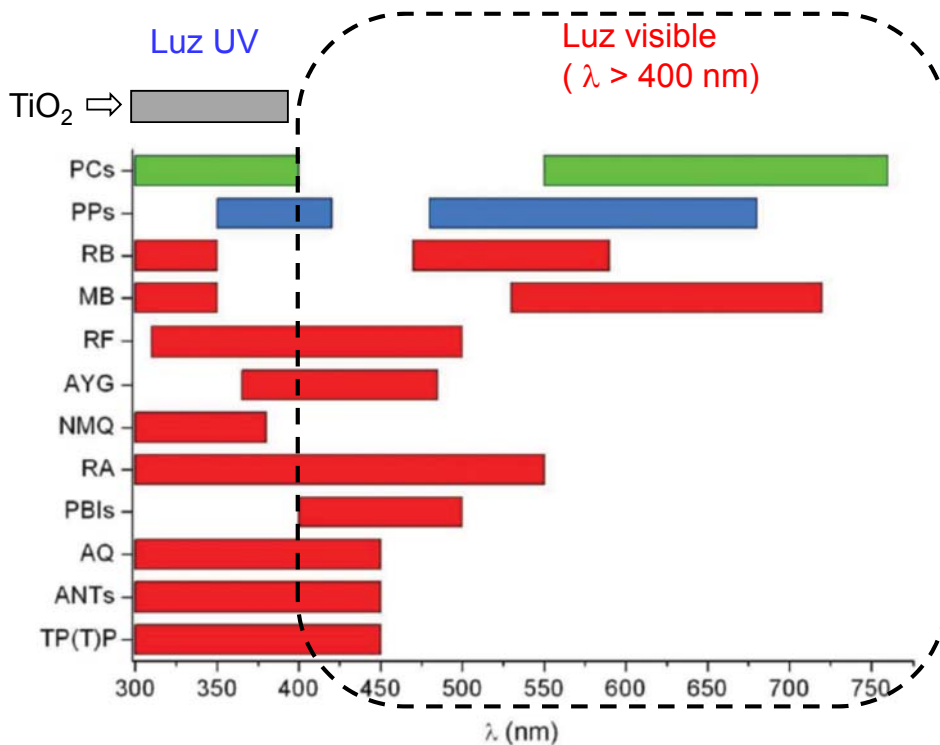
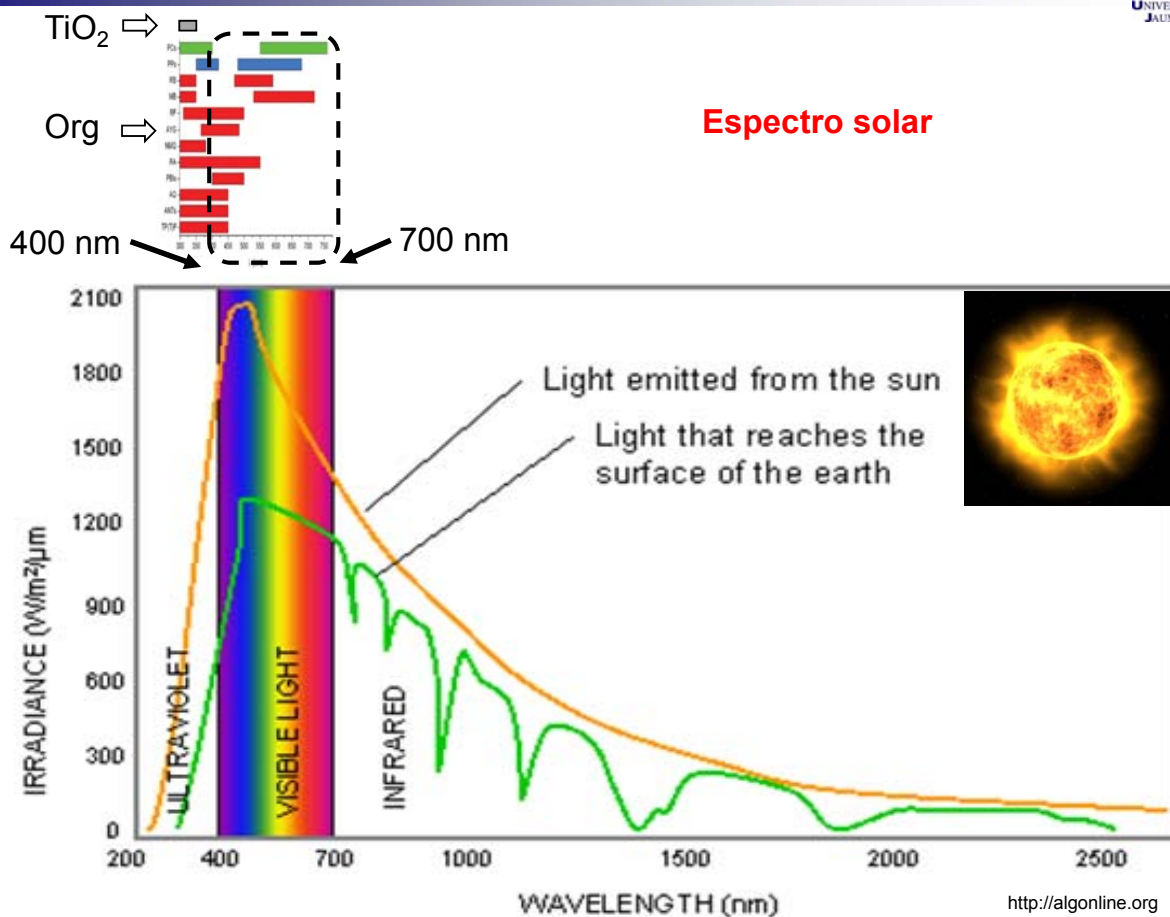


Figure 1. Typical absorption ranges of the organic photocatalysts in the UVB–UVA–vis range.

Chem. Rev. 2012, 112, 1710–1750



Aprovechamiento luz **VISIBLE** del espectro solar

Nuevos materiales

TiO₂ dopado con metalesHíbridos TiO₂-grafenoWO₃BiVO₄BiWO₆Fe₂O₃Ag₃PO₄

CdS

CdSe

AuNPs

In₂S₃

Fotosensibilizadores orgánicos

Más sobre nuevos materiales inorgánicos para aprovechamiento de luz visible:

- N. Gao, X. Fang, *Chem. Rev.* **2015**, *115*, 8294-8343
- M. Pelaez, N. T. Nolan, S. C. Pillai, M. K. Seery, P. Falaras, A. G. Kontos, P. S. M. Kontos, P. S. M. Dunlop, J. W. J. Hamilton, J. A. Byrne, K. O'Shea, M. H. Entezari, D. D. Dionysiou, *Appl. Catal. B: Env.* **2012**, *21*, 331-349
- C. Chatterjee, S. Dasgupta, *J. Photochem. Photobiol.C: Photochem. Rev.* **2005**, *6*, 186-205

13

Algunos fotosensibilizadores orgánicos SOPORTADOS

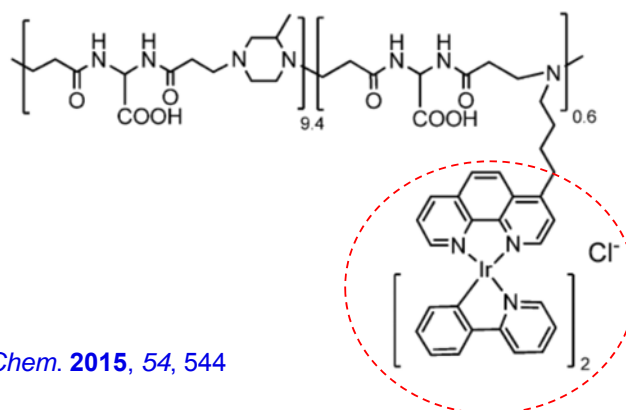
Antecedente histórico:

E. C. Blossey, D. C. Neckers (Univ. New Mexico)
A. L. Thayer, A. P. Schaap (Wayne State Univ.)
Polymer-based sensitizers for photooxidations
J. Am. Chem. Soc. **1973**, *95*, 5820-5822



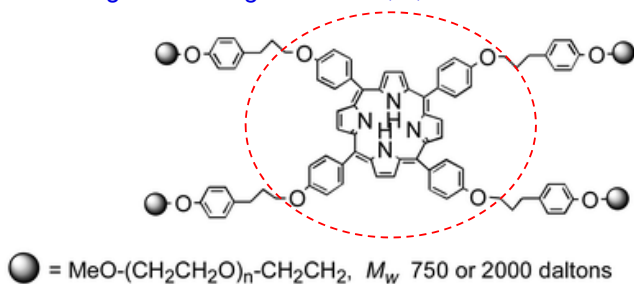
D. C. Neckers

Más recientes:

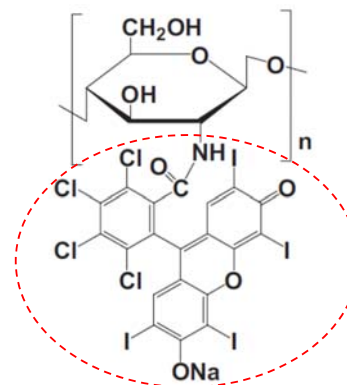
D. Maggioni et al. *Inorg.Chem.* **2015**, *54*, 544

14

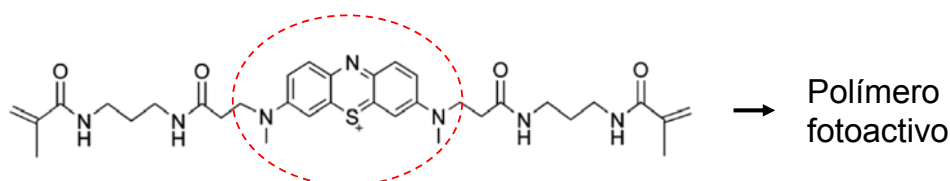
M. Benaglia et al. *Org. Lett.* **2002**, 4, 4229



G. V. Ferrari et al. *Photochem. Photobiol.* **2014**, 90, 1216

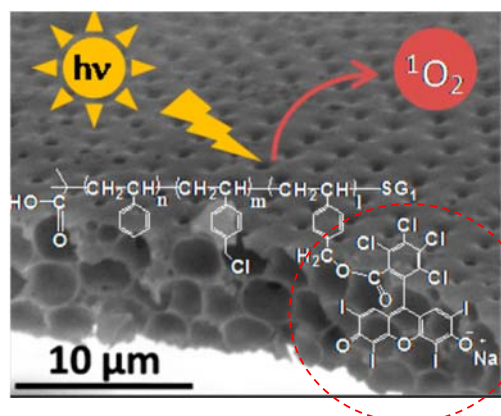


M. Quin et al. *Photochem. Photobiol. Sci.* **2011**, 10, 832

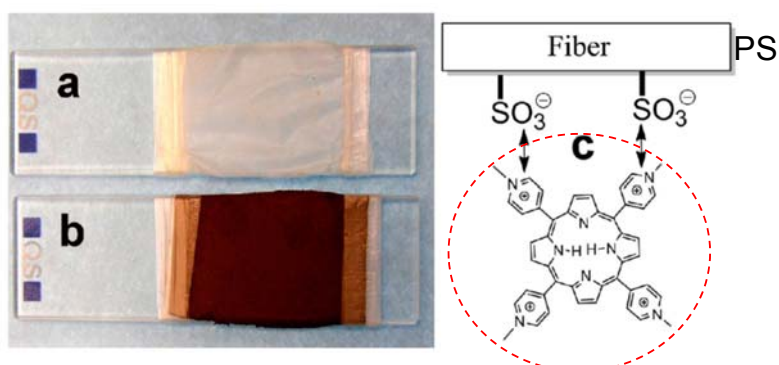


15

L. Pessoni et al. *Langmuir* **2013**, 29, 10264



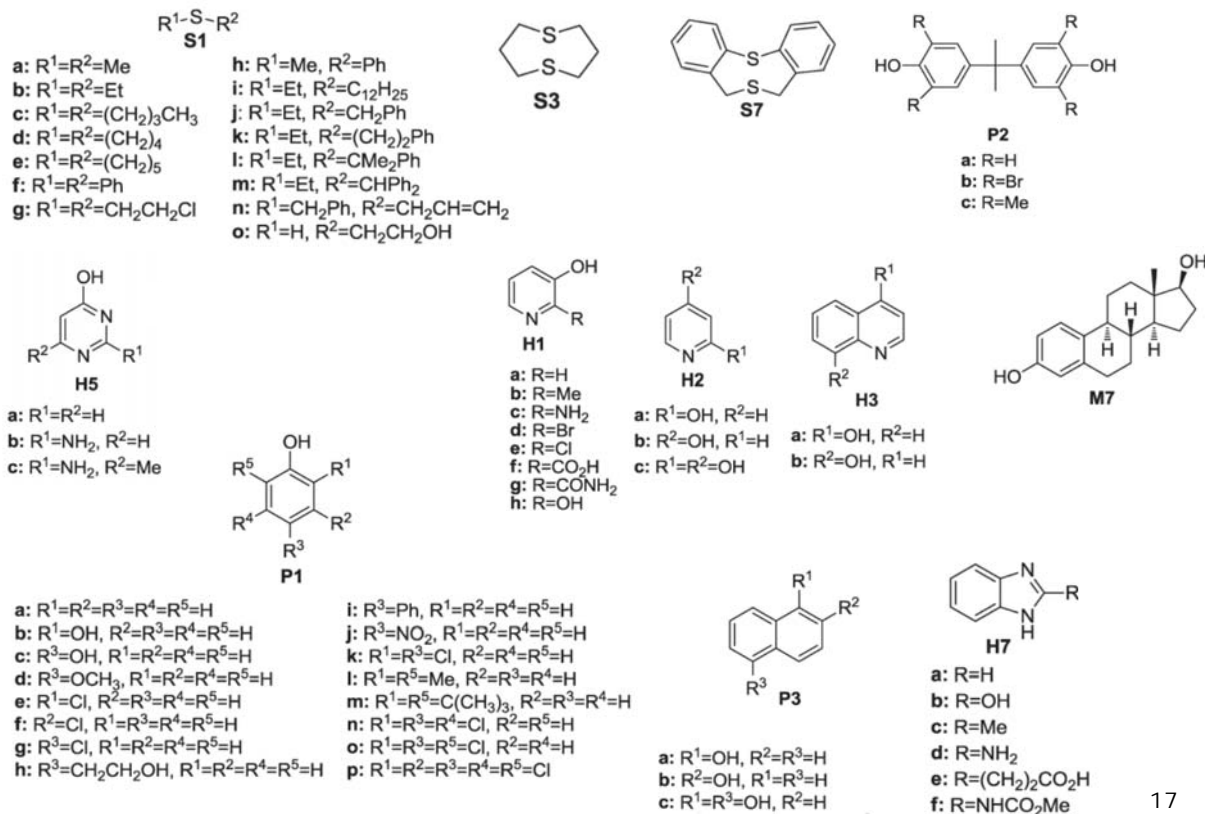
P. Henke et al. *ACS Appl. Mater. Interf.* **2013**, 5, 3776



16

Contaminantes degradables por oxígeno singlete (1O_2)

Chem. Rev. 2012, 112, 1710-1750



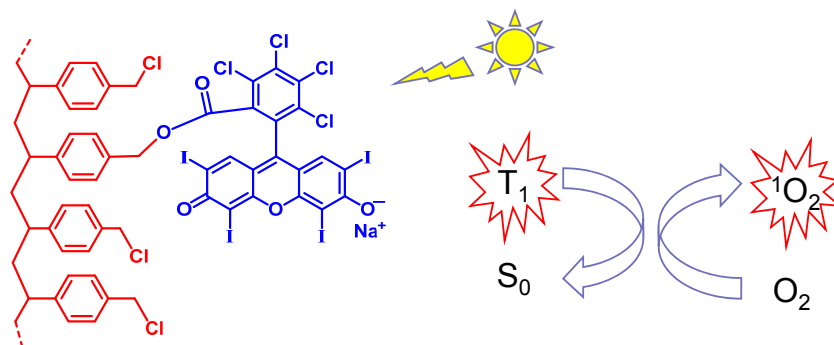
17

Desarrollos en Universitat Jaume I

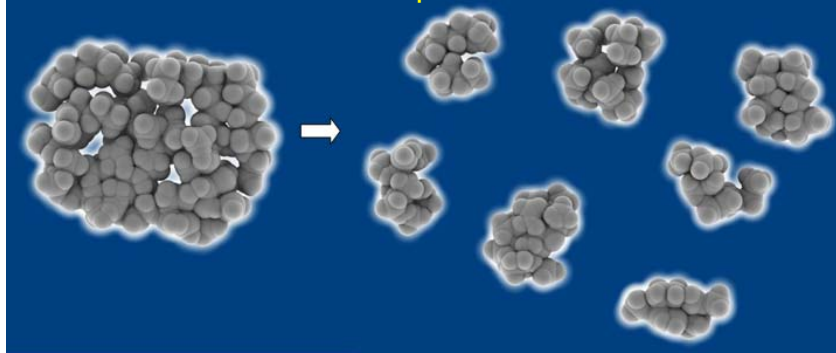
18

Unión **covalente**

1. PS – Rosa Bengala



Novedad: matriz PS macroporoso



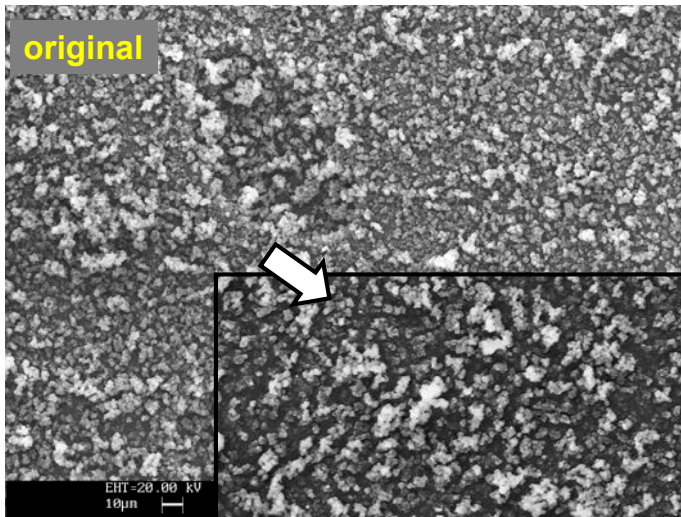
M. I. Burguete, R. Gavara, F. Galindo, S. V. Luis, *Tetrahedron Lett.* **2010**, 51, 3360

M. I. Burguete, F. Galindo, R. Gavara, S. V. Luis, M. Moreno, P. Thomas, D. A. Russell, *Photochem. Photobiol. Sci.* **2009**, 8, 1

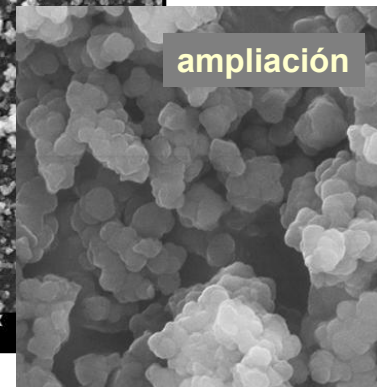
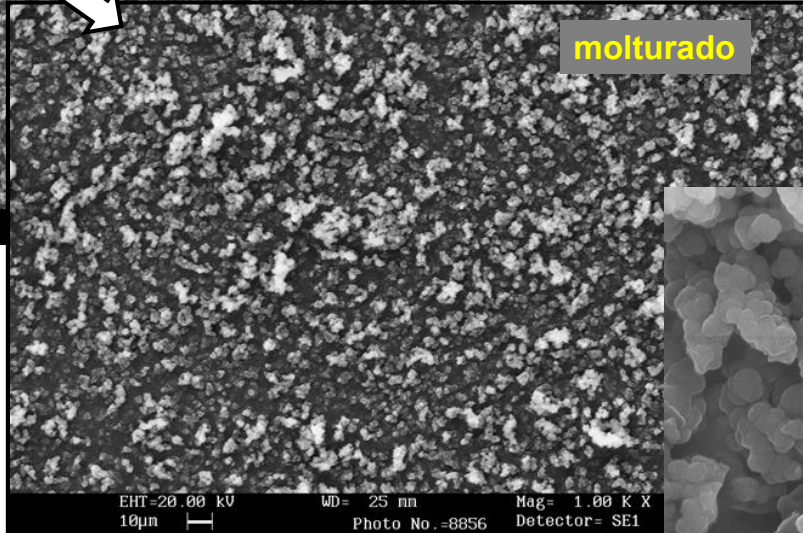


M. I. Burguete, R. Gavara, F. Galindo, S. V. Luis, *Tetrahedron Lett.* **2010**, 51, 3360

M. I. Burguete, F. Galindo, R. Gavara, S. V. Luis, M. Moreno, P. Thomas, D. A. Russell, *Photochem. Photobiol. Sci.* **2009**, 8, 1

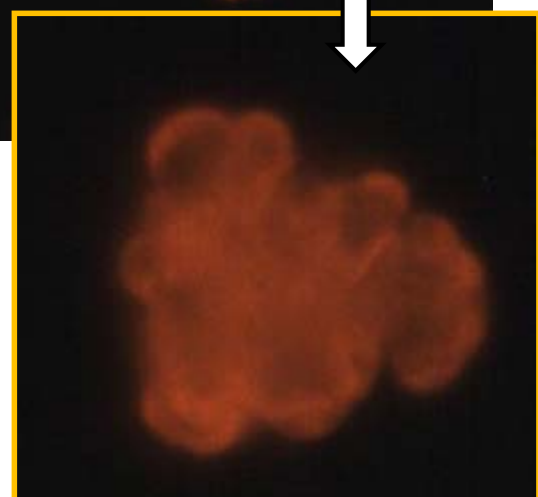
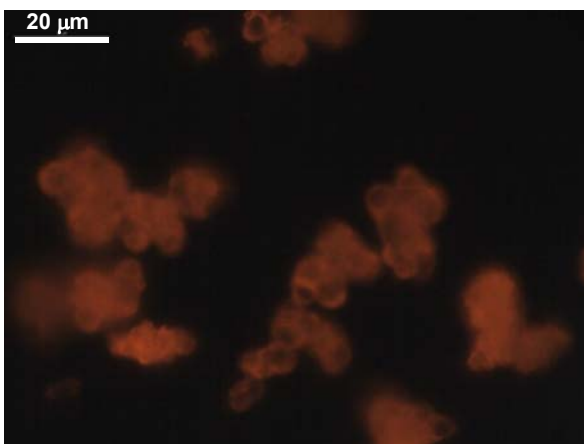


Microscopía electrónica de barrido (SEM)



M. I. Burguete, R. Gavara, F. Galindo, S. V. Luis, *Tetrahedron Lett.* **2010**, 51, 3360

M. I. Burguete, F. Galindo, R. Gavara, S. V. Luis, M. Moreno, P. Thomas, D. A. Russell, *Photochem. Photobiol. Sci.* **2009**, 8, 1

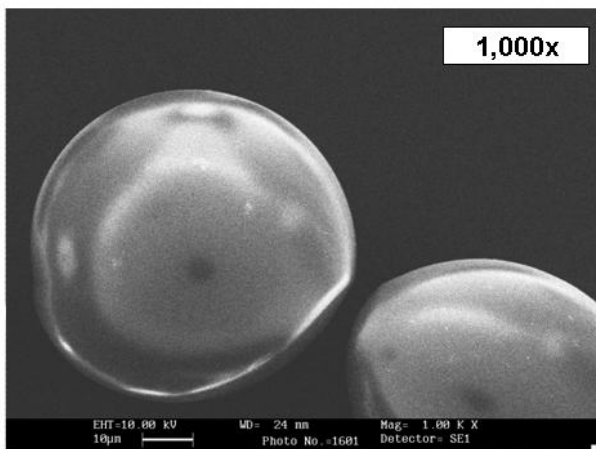


Microscopía de fluorescencia

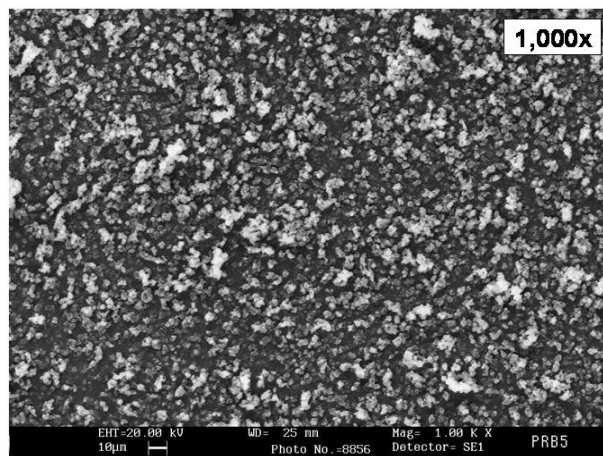
M. I. Burguete, R. Gavara, F. Galindo, S. V. Luis, *Tetrahedron Lett.* **2010**, 51, 3360

M. I. Burguete, F. Galindo, R. Gavara, S. V. Luis, M. Moreno, P. Thomas, D. A. Russell, *Photochem. Photobiol. Sci.* **2009**, 8, 1

Microscopía electrónica de barrido (SEM)



Polímero clásico (tipo Neckers)

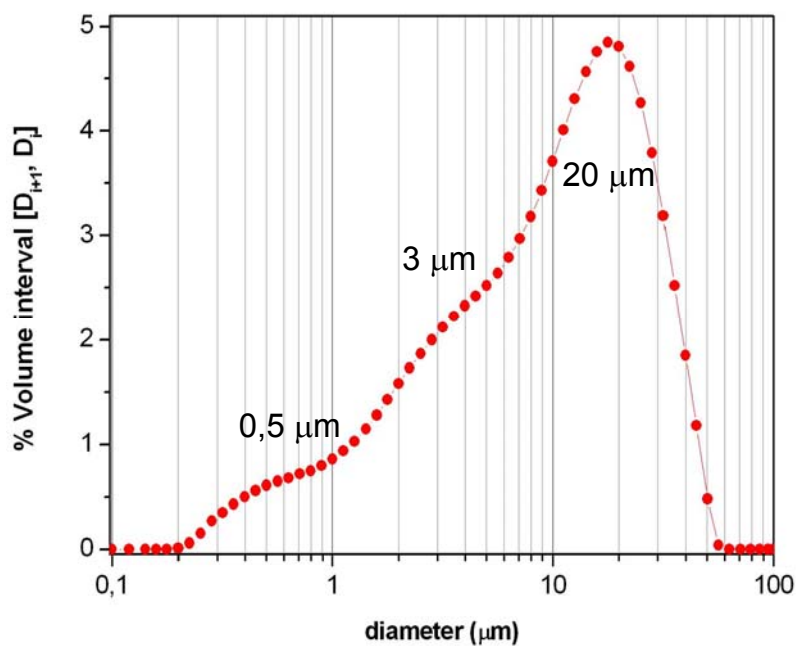


Polímero macroporoso

M. I. Burguete, R. Gavara, F. Galindo, S. V. Luis, *Tetrahedron Lett.* **2010**, 51, 3360

M. I. Burguete, F. Galindo, R. Gavara, S. V. Luis, M. Moreno, P. Thomas, D. A. Russell, *Photochem. Photobiol. Sci.* **2009**, 8, 1

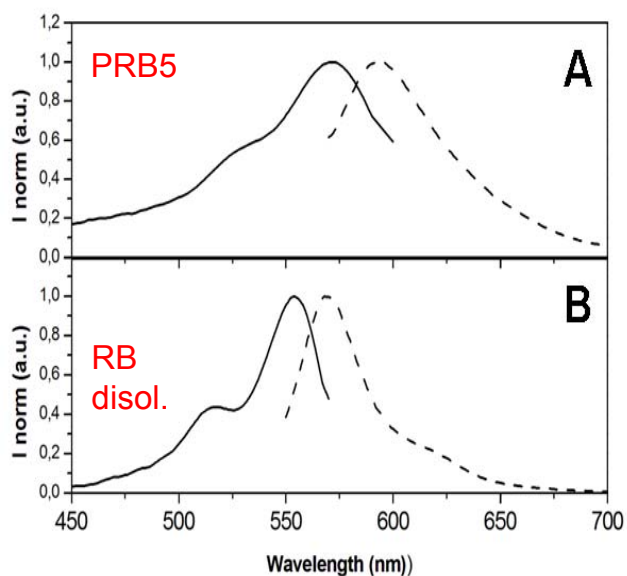
Dispersión de luz (determinación tamaño partícula)



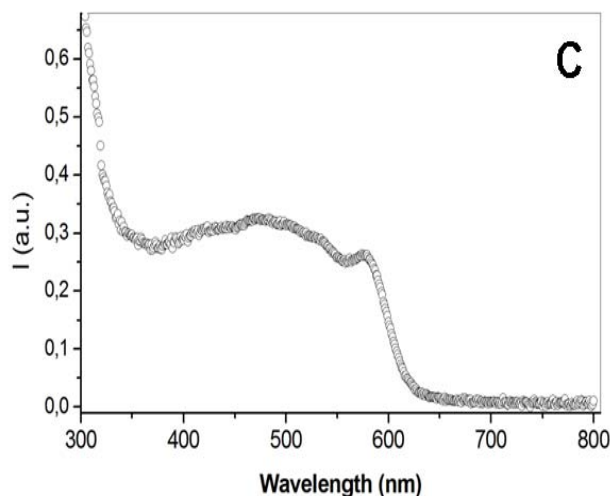
M. I. Burguete, R. Gavara, F. Galindo, S. V. Luis, *Tetrahedron Lett.* **2010**, 51, 3360

M. I. Burguete, F. Galindo, R. Gavara, S. V. Luis, M. Moreno, P. Thomas, D. A. Russell, *Photochem. Photobiol. Sci.* **2009**, 8, 1

Espectroscopía de fluorescencia



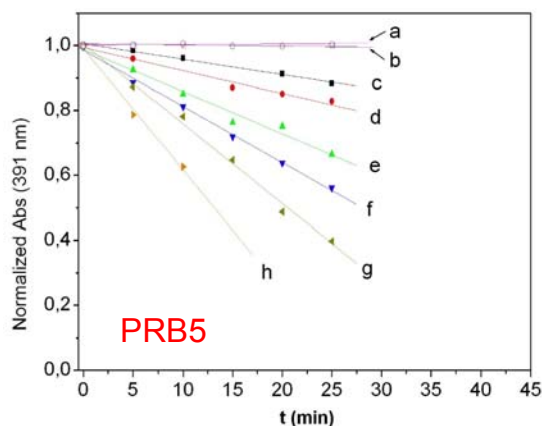
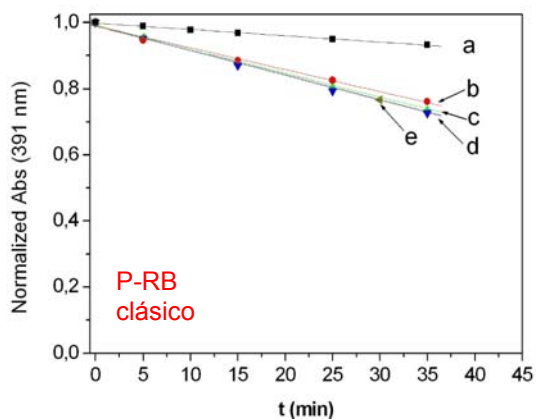
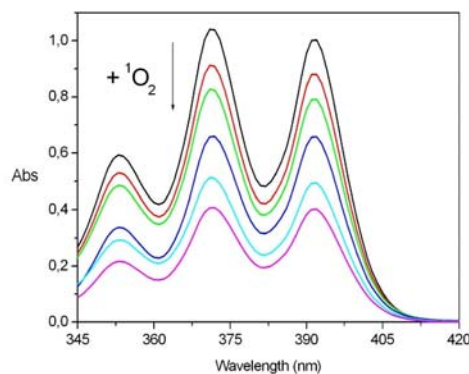
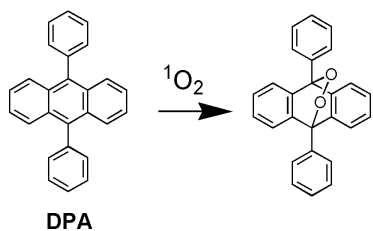
Espectroscopía de reflectancia difusa



M. I. Burguete, R. Gavara, F. Galindo, S. V. Luis, *Tetrahedron Lett.* **2010**, *51*, 3360

M. I. Burguete, F. Galindo, R. Gavara, S. V. Luis, M. Moreno, P. Thomas, D. A. Russell, *Photochem. Photobiol. Sci.* **2009**, *8*, 1

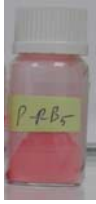
Test DPA



M. I. Burguete, R. Gavara, F. Galindo, S. V. Luis, *Tetrahedron Lett.* **2010**, *51*, 3360

M. I. Burguete, F. Galindo, R. Gavara, S. V. Luis, M. Moreno, P. Thomas, D. A. Russell, *Photochem. Photobiol. Sci.* **2009**, *8*, 1

Test DPA

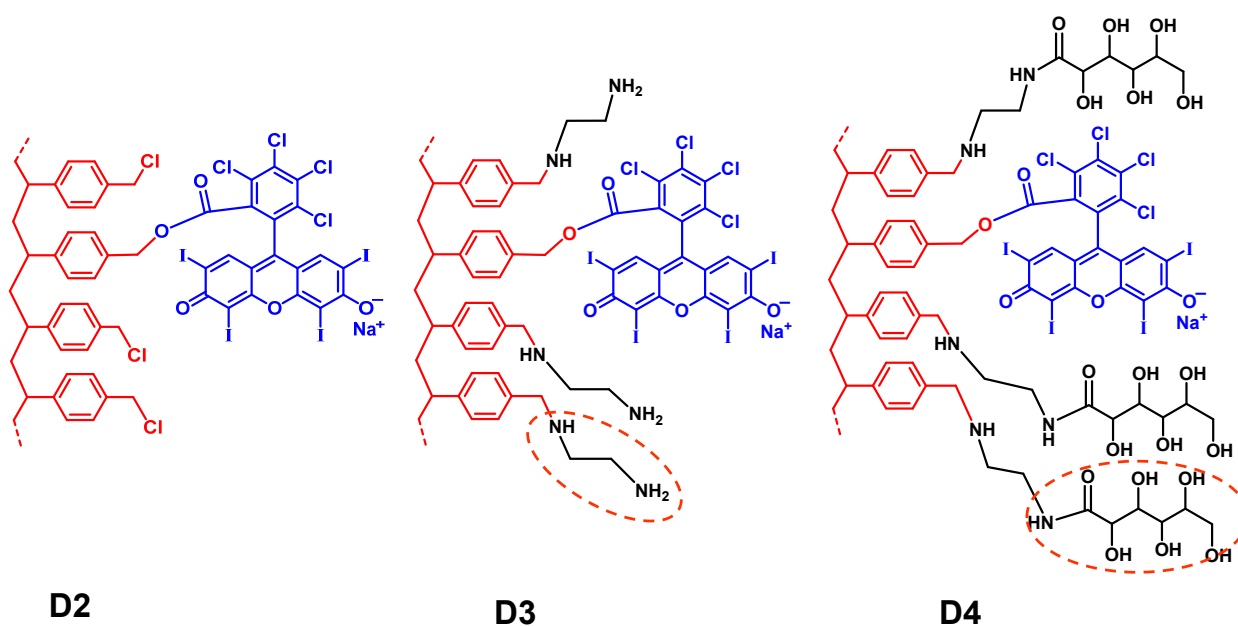
Photosensitizer	Conc. Polymer/mg ml ⁻¹	Conc. RB/M ^a	k/10 ⁻³ min ⁻¹
RB <i>disolución</i>	—	1.67 × 10 ⁻⁶	1.9
	—	6.64 × 10 ⁻⁶	6.6
	—	1.44 × 10 ⁻⁵	7.2
	—	2.93 × 10 ⁻⁵	7.5
	—	5.86 × 10 ⁻⁵	7.4
P _m -RB (PRB5) 	0.67	1.34 × 10 ⁻⁶	4.8
	1.33	2.66 × 10 ⁻⁶	7.1
	2.67	5.34 × 10 ⁻⁶	13.0
	4.00	8.00 × 10 ⁻⁶	17.3
	6.65	1.33 × 10 ⁻⁵	24.6
	13.30	2.66 × 10 ⁻⁵	37.3
P _g -RB <i>Polim. como Neckers</i>	4.33	6.90 × 10 ⁻⁴	2.9
	8.33	1.33 × 10 ⁻³	4.2
	16.67	2.67 × 10 ⁻³	6.3
	33.33	5.33 × 10 ⁻³	5.8

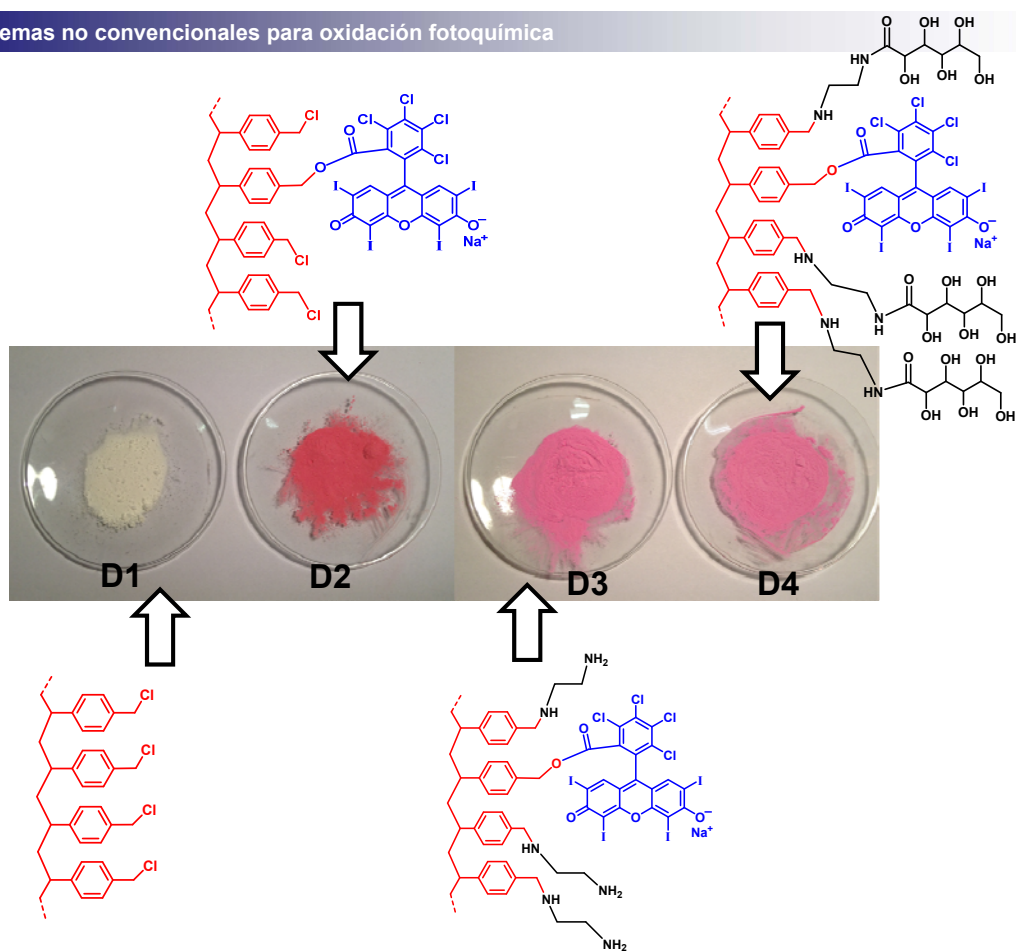
M. I. Burguete, R. Gavara, F. Galindo, S. V. Luis, *Tetrahedron Lett.* **2010**, 51, 3360

M. I. Burguete, F. Galindo, R. Gavara, S. V. Luis, M. Moreno, P. Thomas, D. A. Russell, *Photochem. Photobiol. Sci.* **2009**, 8, 1

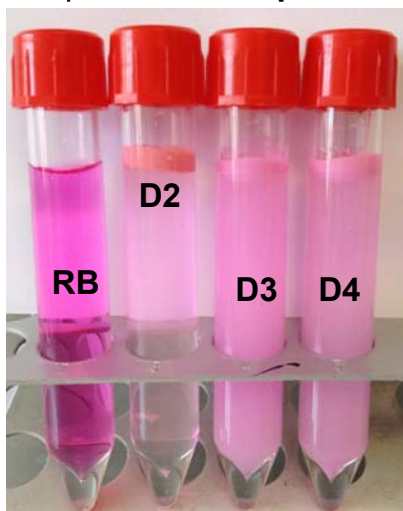
Unión **covalente**

2.- PS – (Rosa Bengala)(gluconolactona)

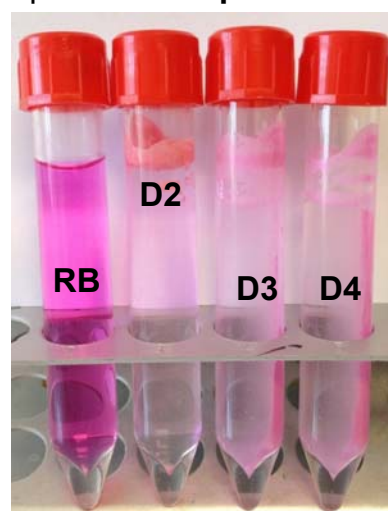




Polímeros hidrofílicos
quedan en **suspensión**

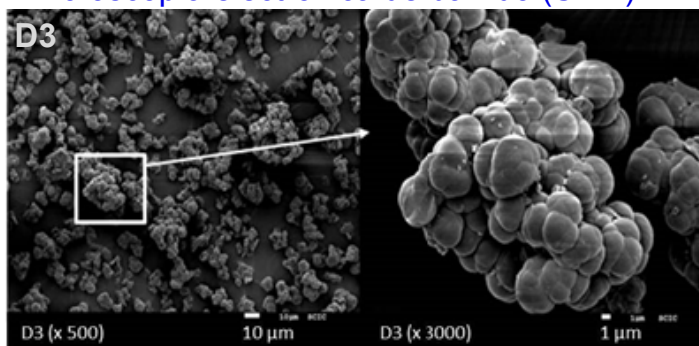


Polímeros hidrofílicos
pueden **recuperarse**

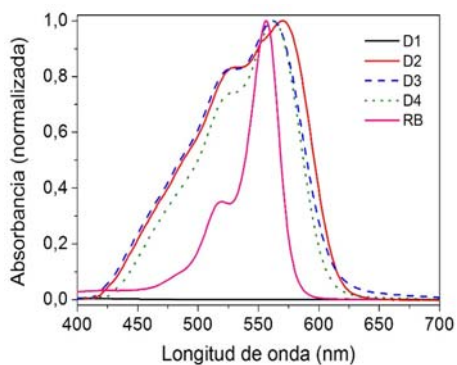


Centrifug.
⇒

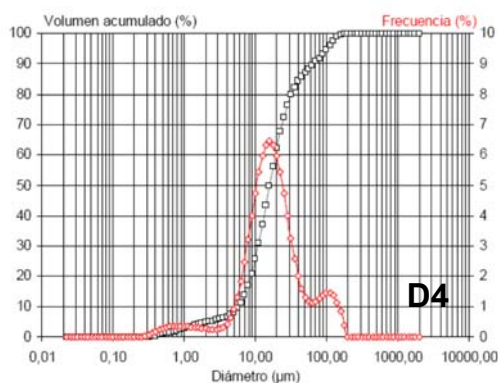
Microscopía electrónica de barrido (SEM)



Absorción & Reflect. Difusa

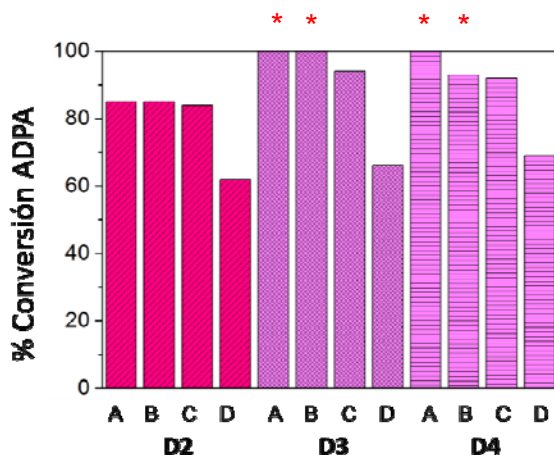
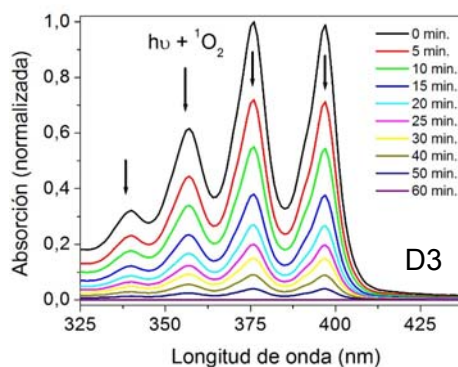
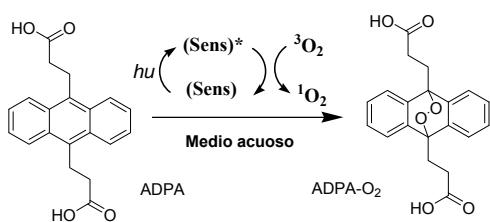


Dispersión de luz



V. Fabregat, M. I. Burguete, F. Galindo, S. V. Luis, *Env. Sci. Pollut. Res.* **2014**, 21, 11884

Test ADPA

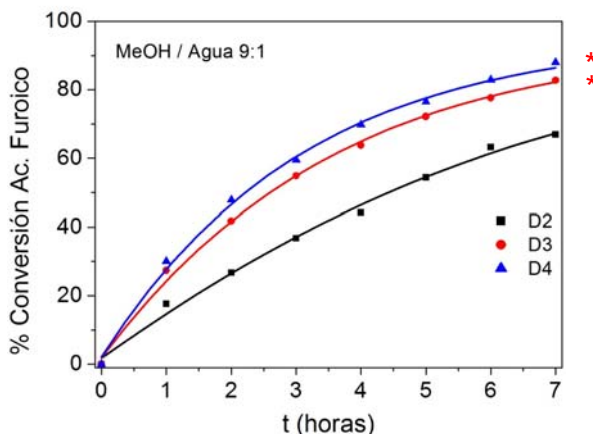
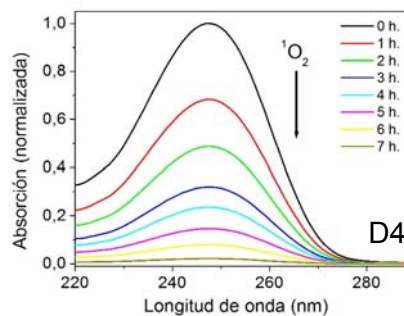
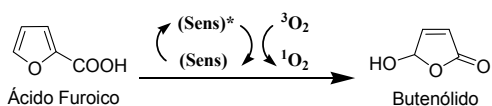


* Polímeros hidrofílicos (D3, D4) mejor rendimiento que hidrofóbico (D2)

- (A) Agua
- (B) Tampón PBS
- (C) Metanol
- (D) Cloroformo

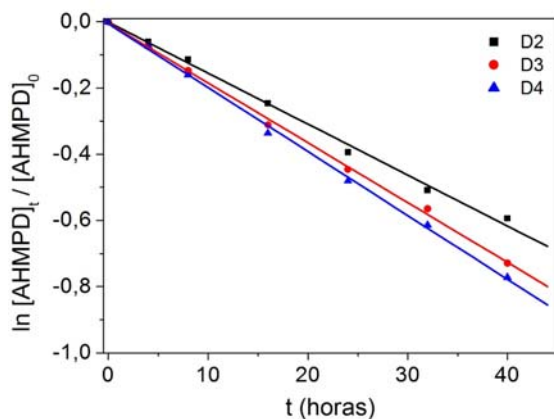
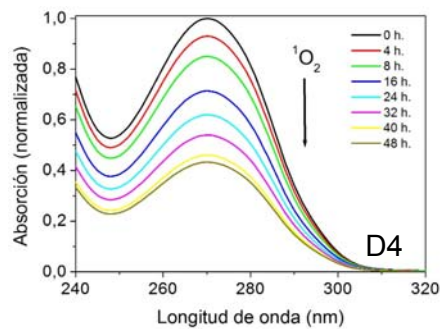
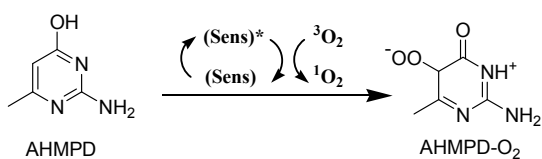
V. Fabregat, M. I. Burguete, F. Galindo, S. V. Luis, *Env. Sci. Pollut. Res.* **2014**, 21, 11884

Test Ac. Furoico



* Polímeros hidrofílicos (D3, D4) mejor rendimiento que hidrofóbico (D2)

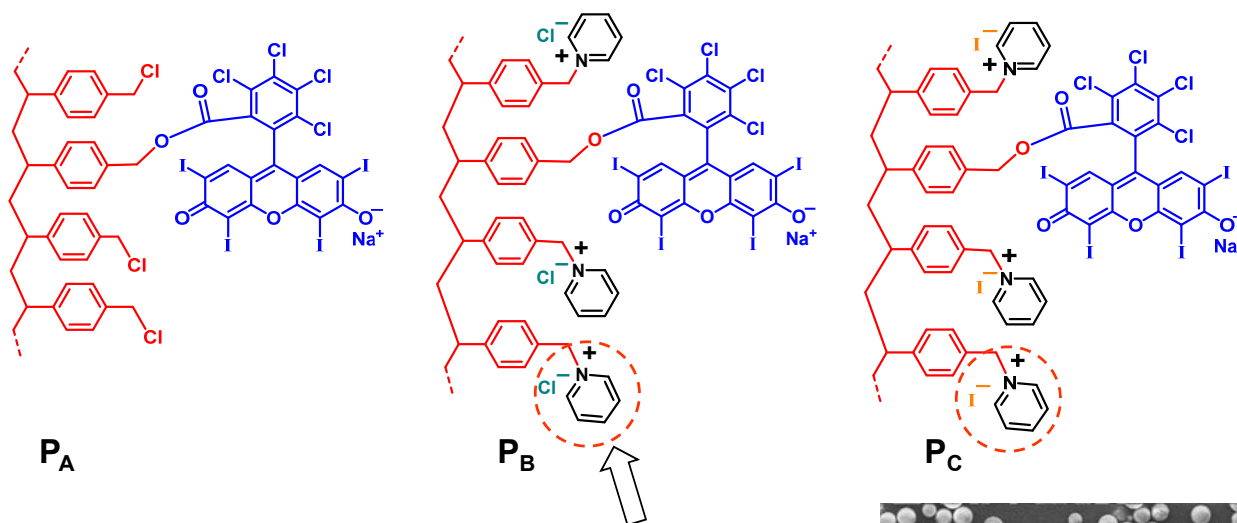
Fungicida AHMPD (2-amino-4-hydroxy-6-methylpyrimidine)



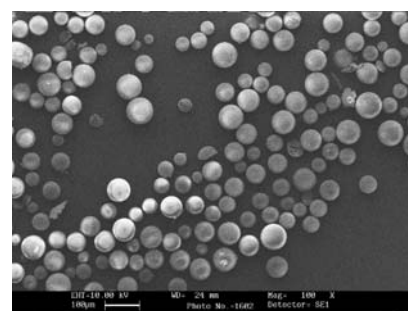
* Polímeros hidrofílicos (D3, D4) mayor velocidad que hidrofóbico (D2)

Unión **covalente**

3.- PS – (Rosa Bengala)(piridina)

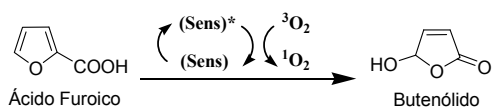


Introducción de grupos iónicos permanentes

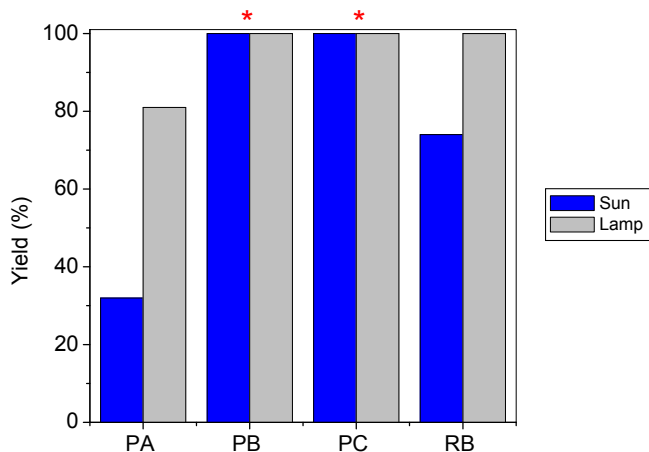
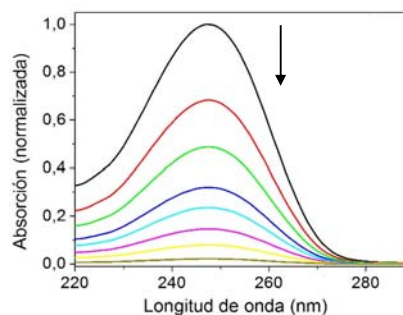


M. I. Burguete, R. Gavara, F. Galindo, S. V. Luis, *Catal. Commun.* **2010**, *11*, 1081

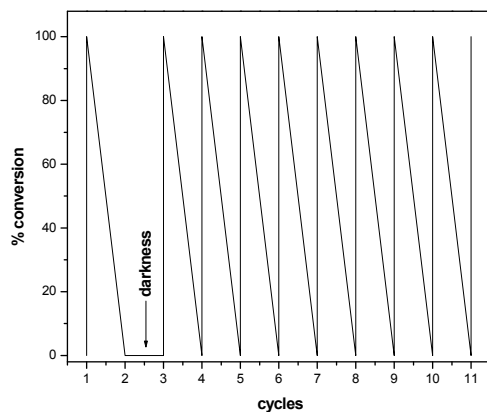
Test Ac. Furoico



* Polímeros hidrofílicos (PB, PC) mayor velocidad que hidrofóbico (PA)



Reciclabilidad: hasta 11 ciclos



Agradecimientos

Dra. Raquel Gavara Dr. Víctor Fabregat Dra. Alicia Beltrán Alba Carretero

- Grupo Prof. Santiago V. Luis (Universitat Jaume I de Castellón)
- Grupo Prof. David A. Russell (University of East Anglia, Norwich, Reino Unido)
- Grupo Prof. Brian Vincent / Dra. Melanie Bradley (University of Bristol, UK)
- Grupo Prof. Maksim N. Sokolov (Russian Academy of Sciences, Novosibirsk, Rusia)
- Grupo Dr. Antonio Rezusta (Hospital Universitario Miguel Servet, Zaragoza)

- Ministerio de Economía y Competitividad
- Generalitat Valenciana
- Universitat Jaume I de Castellón



Algunas de las imágenes de esta presentación han sido obtenidas de publicaciones de: Elsevier, Springer, Wiley, Amer.Chem.Soc. y Royal Soc. Chem.

Sistemas no convencionales para procesos fotoquímicos de oxidación

Dr. Francisco Galindo

Universitat Jaume I
Dpto. Química Inorgánica y Orgánica

francisco.galindo@uji.es